

Letzte Aktualisierung der Informationen: November 2024

Produktkonfiguration: QY23.12+QX54.01

QY23.12: LED-Modul - L 2384 - 78° - Down-Lichtausgabe - High Output - Neutral White - integrierte dimmbare DALI-Versorgungseinheit - aluminium

QX54.01: iN60 MMO - Down-Modul - Frame - L= 2384 - weiss



Produktcode

QY23.12: LED-Modul - L 2384 - 78° - Down-Lichtausgabe - High Output - Neutral White - integrierte dimmbare DALI-Versorgungseinheit - aluminium

Beschreibung

LED-Modul, das zur Installation in den Profilen des iN60 MMO mit Down-Lichtausgabe vorgesehen ist. Raster aus metallisiertem Thermoplast. Die Leuchte erzeugt eine Down-Lichtausstrahlung (85%) mit kontrollierter Leuchtdichte $L \leq 3000 \text{ cd/mq} - \alpha > 65^\circ$, gemäß Norm EN 12464-1 für den Einsatz in Flächen mit starker Bildschirmnutzung. Die Ausführung ist High Output. Komplett mit eingebauter elektronischer, dimmbarer DALI-Versorgungseinheit. LED Neutral White (4000K), CRI80.

Installation

Leichtes Einsetzen der Module in die Einbauschächte durch das mechanische Easy-Push-System (Schnappfedern aus Stahl).

Farben

Aluminium (12)

Gewicht (Kg)

1.76

Verkabelung

Anschluss mit Schnellklemmenanschluss am Eingang. Das LED-Modul ist mit integrierter DALI-Versorgungseinheit ausgestattet. Die verwendeten Stromkabel sind aus halogenfreiem Material.

Gemäß der Normen EN60598-1 u. Sondernormen



Produktcode

QX54.01: iN60 MMO - Down-Modul - Frame - L= 2384 - weiss

Beschreibung

Das Profil L=2384 mm ist aus extrudiertem Aluminium gefertigt. Dies ist die Frame-Ausführung für Down-Lichtausstrahlung. Das Produkt eignet sich für Einbau-Anwendungen und kann sowohl als Standalone-Version als auch in Reihenschaltung eingesetzt werden.

Installation

Installation als Einbauleuchte mit eigenem, separat zu bestellendem Zubehör. Die Module sind mit Enddeckeln und Rastern mit LEDs zu vervollständigen, die separat bestellt werden müssen.

Farben

Weiß (01)

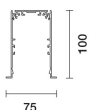
Gewicht (Kg)

4.23

Montage

Deckeneinbauleuchte

Gemäß der Normen EN60598-1 u. Sondernormen

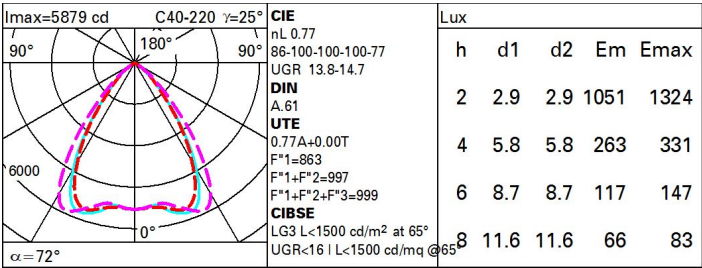


Technische Daten

| | |
|---|-------|
| Im System: | 8085 |
| W System: | 49 |
| Im Lichtquelle: | 10500 |
| W Lichtquelle: | 49 |
| Lichtausbeute (lm/W, Systemwert): | 165 |
| Im im Notlichtbetrieb: | - |
| abgegebener Lichtstrom bei/ [lm]: | 0 |
| über einem Winkel von 90° | |
| Leuchtenbetriebswirkungsgrad 77 (L.O.R.) [%]: | |

| | |
|-----------------------------------|--------|
| CRI (minimum): | 80 |
| Farbtemperatur [K]: | 4000 |
| MacAdam Step: | 3 |
| Lampencode: | LED |
| Anzahl Lampen in Leuchtengehäuse: | 1 |
| ZVEI-Code: | LED |
| Anzahl Leuchtengehäuse: | 1 |
| Control: | DALI-2 |

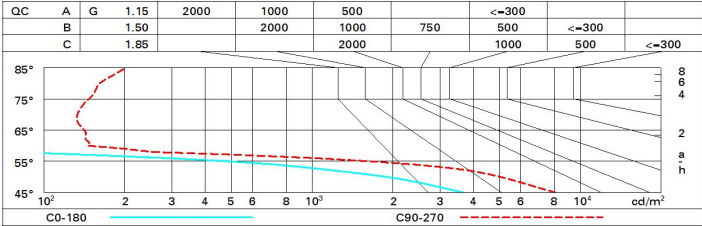
Polardiagramm



Wirkungsgrad

| R | 77 | 75 | 73 | 71 | 55 | 53 | 33 | 00 | DRR |
|------|----|----|----|----|----|----|----|----|-----|
| K0.8 | 65 | 60 | 56 | 54 | 59 | 56 | 56 | 53 | 68 |
| 1.0 | 69 | 64 | 61 | 59 | 63 | 61 | 60 | 57 | 74 |
| 1.5 | 74 | 70 | 68 | 66 | 69 | 67 | 67 | 64 | 83 |
| 2.0 | 77 | 74 | 72 | 71 | 73 | 71 | 71 | 68 | 88 |
| 2.5 | 78 | 76 | 75 | 74 | 75 | 74 | 73 | 71 | 92 |
| 3.0 | 79 | 78 | 77 | 76 | 77 | 76 | 75 | 72 | 94 |
| 4.0 | 81 | 79 | 78 | 78 | 78 | 77 | 76 | 74 | 96 |
| 5.0 | 81 | 80 | 79 | 79 | 79 | 78 | 77 | 75 | 97 |

Söllner-Diagramm



UGR-Diagramm

| Corrected UGR values (at 10500 lm bare lamp luminous flux) | | | | | | | | | | | | |
|--|-----|---------------------|-------------|------|------|------|-------------------|------|------|------|------|------|
| Reflect.: ceiling/cav walls work pl. Room dim x y | | 0.70 | 0.70 | 0.50 | 0.50 | 0.30 | 0.70 | 0.70 | 0.50 | 0.50 | 0.30 | 0.30 |
| | | 0.50 | 0.30 | 0.50 | 0.30 | 0.30 | 0.50 | 0.30 | 0.50 | 0.30 | 0.30 | 0.30 |
| | | 0.20 | 0.20 | 0.20 | 0.20 | 0.20 | 0.20 | 0.20 | 0.20 | 0.20 | 0.20 | 0.20 |
| | | viewed crosswise | | | | | viewed endwise | | | | | |
| 2H | 2H | 14.4 | 15.0 | 14.7 | 15.3 | 15.5 | 15.3 | 16.0 | 15.6 | 16.2 | 16.4 | 16.4 |
| | 3H | 14.2 | 14.8 | 14.5 | 15.1 | 15.4 | 15.2 | 15.8 | 15.5 | 16.0 | 16.3 | 16.3 |
| | 4H | 14.2 | 14.7 | 14.5 | 15.0 | 15.3 | 15.1 | 15.7 | 15.5 | 15.9 | 16.3 | 16.3 |
| | 6H | 14.1 | 14.6 | 14.4 | 14.9 | 15.2 | 15.0 | 15.5 | 15.4 | 15.8 | 16.2 | 16.2 |
| | 8H | 14.0 | 14.5 | 14.4 | 14.8 | 15.2 | 15.0 | 15.5 | 15.4 | 15.8 | 16.1 | 16.1 |
| | 12H | 14.0 | 14.5 | 14.4 | 14.8 | 15.2 | 15.0 | 15.4 | 15.3 | 15.8 | 16.1 | 16.1 |
| 4H | 2H | 14.2 | 14.7 | 14.5 | 15.0 | 15.3 | 15.1 | 15.6 | 15.4 | 15.9 | 16.2 | 16.2 |
| | 3H | 14.0 | 14.5 | 14.4 | 14.8 | 15.2 | 15.0 | 15.4 | 15.3 | 15.8 | 16.1 | 16.1 |
| | 4H | 13.9 | 14.3 | 14.3 | 14.7 | 15.1 | 14.9 | 15.3 | 15.3 | 15.6 | 16.0 | 16.0 |
| | 6H | 13.9 | 14.2 | 14.3 | 14.6 | 15.0 | 14.8 | 15.1 | 15.2 | 15.5 | 16.0 | 16.0 |
| | 8H | 13.8 | 14.1 | 14.3 | 14.5 | 15.0 | 14.7 | 15.1 | 15.2 | 15.5 | 15.9 | 15.9 |
| | 12H | 13.8 | 14.1 | 14.2 | 14.5 | 14.9 | 14.7 | 15.0 | 15.2 | 15.4 | 15.9 | 15.9 |
| 8H | 4H | 13.8 | 14.1 | 14.3 | 14.5 | 15.0 | 14.8 | 15.1 | 15.2 | 15.5 | 15.9 | 15.9 |
| | 6H | 13.7 | 14.0 | 14.2 | 14.4 | 14.9 | 14.7 | 14.9 | 15.1 | 15.4 | 15.8 | 15.8 |
| | 8H | 13.7 | 13.9 | 14.2 | 14.4 | 14.9 | 14.6 | 14.8 | 15.1 | 15.3 | 15.8 | 15.8 |
| | 12H | 13.6 | 13.8 | 14.1 | 14.3 | 14.8 | 14.6 | 14.7 | 15.1 | 15.2 | 15.8 | 15.8 |
| 12H | 4H | 13.8 | 14.1 | 14.2 | 14.5 | 14.9 | 14.7 | 15.0 | 15.2 | 15.4 | 15.9 | 15.9 |
| | 6H | 13.7 | 13.9 | 14.2 | 14.4 | 14.9 | 14.6 | 14.8 | 15.1 | 15.3 | 15.8 | 15.8 |
| | 8H | 13.6 | 13.8 | 14.1 | 14.3 | 14.8 | 14.6 | 14.8 | 15.1 | 15.2 | 15.8 | 15.8 |
| Variations with the observer position at spacing: | | | | | | | | | | | | |
| S = | | 1.0H | 3.8 / -11.4 | | | | 3.2 / -9.0 | | | | | |
| | | 1.5H | 5.5 / -25.8 | | | | 5.2 / -20.7 | | | | | |
| | | 2.0H | 7.4 / -26.4 | | | | 7.2 / -21.1 | | | | | |